

1969

1969

Н₂O

9 Д80. Расчет основного состояния молекулы H₂O с использованием минимального базисного набора. Andriessen J.: A calculation of the ground state of H₂O using a minimal basis set. «Chem. Phys. Letters», 1969, 3, № 4, 257—258 (англ.)

Методом Рутана с использованием минимального базисного набора из орбиталей слейтеровского типа исследовано электронное строение молекулы H₂O в основном состоянии. Приведены воли. Ф-ции, орбитальные энергии, полная энергия —75,6812 ат. ед. (—76,481), энергия связи 0,30 ат. ед. (0,37), равновесный угол Н—О—Н 110° (105), равновесная длина связи О—Н 1,89 ат. ед. (1,81), частота валентного колебания 1700 см⁻¹ (1595), дипольный момент 1,71 ед. Дебая (1,84), энергии ионизации 0,4204, 0,4590, 0,6386 ат. ед. (0,463, 0,533, 0,595) (в скобках приведены эксперим. данные). Полученные результаты предполагается использовать при исследовании суперсверхтонкого взаимодействия протонов с Mn₂⁺ в La₂Mn₃(NO₃)₁₂·24H₂O.

В. Л. Лебедев

электрон.
строительство

ф. 1969 . 98

1959

H₂O81parceny

60862d Determination of higher rotational terms of molecules of the asymmetric-top type by extrapolation. Barkov, V. D. (USSR). *Opt. Spektrosk.* 1969, 27(5), 759-61 (Russ). Diagrams of distribution of lower energy levels are proposed, which can be used for construction of smooth curves for detn. of higher energy levels by means of extrapolation. The method is applied to the water mol. in the vapor state. Exptl. and calcd. results are in good agreement. Unknown energy levels have been calcd.
Wladyslaw S. Brud

C.A. 1980.72.12

H₂O

12 Д323. Изучение молекулярной структуры и спектров аномальной воды. Bellamy L. J., Osborgn A. R., Lippincott E. R., Bandy A. R. Studies of the molecular structure and spectra of anomalous water. «Chem. and Ind.», 1969, № 21, 686—688 (англ.)

1969

Ch - 100

Исследованы ИК-спектры в области $16\ 000$ — $4000\ \text{см}^{-1}$ и спектры комб. рас. нормальной и аномальной (с повышенным давлением паров) воды. Обнаружено значительное уменьшение интенсивности в полосах $6\ 900$ и $5\ 150\ \text{см}^{-1}$ аномальной по отношению к норм. воде. Замечено, что в спектре комб. рас. центр полосы валентного колебания аномальной воды имеет частоту $3\ 440\ \text{см}^{-1}$, а в случае нормальной $3\ 400\ \text{см}^{-1}$. Авторы считают, что различия спектров нормальной и аномальной воды обусловлено тем, что аномальная вода должна состоять из полимерных единиц, которые могут быть четырехзвенным полимером или более высокомолекулярным полимером.

В. Болдырев

ср. 1969. 129

1969

H₂O

Benedict W. S.

U.S. Clearinghouse Fed.

Sci. Tech. Inform., AD 1969,
AD - 692 945, 43 pp.

100301

(cu. CO₂) III.

XI 128

revers. complex (H_2S , B_2H_6 , H_2O) 1969

Cook & B., Palmieri P. 12 15 11

Molec. Phys., 1969, 17, no 3, 271-273 (anon)

Approximate ab initio calculations
on polyatomic molecules. II.

Buxton, 1970, 6528

7 10 partly

XI-146

1969

H₂O (Ap) n.gp.

De Pasz N., Leventhal J.J.

Friedman L., J. Chem. Phys.,
1969, 57, n° 9, 3748-3761

etc opus.

10, II

1969

Nepurutkas
boga

59323x Apparatus for studying the special properties of structural modifications of water. Deryagin, B. V.; Zakhavaeva, N. N.; Konovalova, A. I.; Mironenko, N. N. (Inst. Fiz. Khim., Moscow, USSR). Zavod. Lab. 1969, 35(7), 879-81 (Russ).

Two types of app. are described for obtaining dense (structurally modified) H₂O, which exhibits max. d. of 1.35 g/cm³ at subzero temps. Both app. employ the principle of condensing H₂O in fine (10-50 μ) capillaries under unsatd. vapor conditions. The 1st unsatn. is obtained by keeping the capillary vessel at a higher temp. than the vessel contg. the pure H₂O, while for the 2nd, a concd. soln. of KH₂PO₄ is used. Superdense water exhibited d. charge hysteresis when cyclically cooled and heated near the f.p. The water in the capillaries sep'd. into two immiscible phases of different d. and mol. structure.

M. Simmer

C.A. 1970.

72-12

OH_2

ph.-ux.

pacet

Ehrenson S.

1969

JACS,

91, N^o 14, 3693

$(\text{C}_{11}\text{H}_{12})_{\text{III}}$

1969

H₂O

Ehrenson & S.

J. Sucr. Chem.

loc., 1969, 91, n. 14,

3702

RF. - recx.
pacem



(C₆H₅CH₂)₂Cl

H_2O

5 Б167. Изучение молекулы воды в газовой фазе.
Возбужденные состояния H_2O , H_2O^+ и H_2O^- . Fiquet — Fayard F. Study of the water molecule in the gaseous phase excited states of H_2O , H_2O^+ and H_2O^- . «Israel J. Chem.», 1969, 7, № 2, 275—289 (англ.)

1969

Рассмотрены св-ва симметрии атомных и молек. орбиталей молекулы H_2O . Обобщены лит. данные по расчету энергетич. уровней и волновых ф-ций H_2O , H_2O^+ и H_2O^- . Построены диаграммы Уолша для различных уровней H_2O . Интерпретированы эксперим. данные по фотоэлектронному и УФ-спектру H_2O и данные масс-спектрометрич. исследований фотонионизации H_2O и захвата электронов молекулами H_2O . Показано, что большинство возбужденных электронных уровней H_2O подвержены предиссоциации. Обсуждается механизм диссоциации H_2O из различных уровней.

М. Р. Алиев

X· 1970·5

42

18

H₂O
2

Chem. J. coll.

1969

(64327k) Study of the water molecule in the gaseous phase excited states of H₂O, H₂O⁺ and H₂O⁻. Fiquet-Fayard, Florence (Fac. Sci., Orsay, Fr.). *Isr. J. Chem.* 1969, 7(2), 275-89 (Eng). A short account of the electron configuration of H₂O, including symmetry properties, is given. These simple considerations permit the explanation of the results of photoelectron spectroscopy expts. and photoionization expts.; the ²B₁ state of H₂O⁺ is predissocd. Excited states of H₂O are all repulsive or predissocd., the more important fragments being OH²π, OH²Σ⁺, and O. Some repulsive states of H₂O⁻ are known, but the important low-lying ²A' state is unknown. BVJN

C.A. 1969.

H. 14

1969

H₂O

01328p High resolution infrared spectra of water vapor ν_1 and ν_3 bands of H₂¹⁸O. Fraley, Phillip E.; Rao, K. Narahari; Jones, Llewellyn Hosford (Ohio State Univ., Columbus, Ohio). *J. Mol. Spectrosc.* 1969, 29(3), 312-47 (Eng). The ν_1 and ν_3 bands of H₂¹⁸O occurring in the region 2.5-3.0 μ were recorded with a high resoln. vacuum ir spectrograph and an anal. is presented of the rotational structure observed. A discussion is presented of the effects of perturbations between the upper states of the transitions involved. Several lines belonging to the ν_1 and ν_3 bands of H₂¹⁷O have been identified. RCKP

measured

C.A. 1969. 70.22

1969

№ 0
2

20 Б229. Инфракрасные спектры высокого разрешения паров воды. Полосы V_1 и $V_3 H_2 O^{18}$. Fraley Philip E., Rao K. Nagahagi, Jones L. H. High resolution infrared spectra of water vapor. V_1 and V_3 bands of $H_2^{18}O$ «J. Molec. Spectrosc.», 1969, 29, № 3, 312—347 (англ.)

На вакуумном спектрографе высокого разрешения записаны полосы V_1 и $V_3 H_2 O^{18}$ (I) в области 3300—4000 cm^{-1} и проведен анализ наблюдавшейся вращательной структуры. Приведены величины вращательных энергетич. уровней I для состояний (000), (100) и (001) для $1 \leq J \leq 9$. Обсуждены эффекты возмущений между высшими состояниями вращательно-колебательных переходов I.

Резюме

Х. 1969. 20

1969

H₂O.ИК-спектр

10 Д268. ИК-спектры высокого разрешения паров воды. Полосы колебаний ν_1 и ν_3 H₂O¹⁸. Fraley Philip E., Rao K. Nagahagi, Jones L. H. High resolution infrared spectra of water vapor. ν_1 and ν_3 bands of H₂¹⁸O. «J. Molec. Spectrosc.», 1969, 29, № 3, 312—347 (англ.)

Получены спектры паров воды, обогащенной изотопом O¹⁸ в слое 1 м в области 2,5—3 μ с разрешением 0,1 см⁻¹. Приведены частоты наблюденных линий с точностью $\pm 0,005$ см⁻¹. Для регистрации спектров использован призменно-решеточный вакуумный спектрометр с фокусным расстоянием 6 м и охлаждаемым приемником PbS. Произведена интерпретация наблюденных линий с использованием квантовых чисел J , K_{+1} и K_{-1} . На основе полученных данных вычислены энергии вращательных и колебательно-вращательных уровней молекулы H₂O¹⁸ в

ф. 1969

108

состояниях (000), (100) и (001) вплоть до $J=9$. Ряд наблюденных линий приписан молекуле H_2O^{17} . Определены частоты чисто колебательных переходов $v_1 = 3649,68 \text{ см}^{-1}$ и $v_3 = 3741,58 \text{ см}^{-1}$ для H_2O^{18} и $v_1 = 3653,15 \text{ см}^{-1}$ и $v_3 = 3748,36 \text{ см}^{-1}$ для H_2O^{17} . Бпбл. 8. М. В. Тонков

1969

М. О.
 10 Д269. ИК-спектры высокого разрешения паров воды. Полосы колебаний ν_1 и ν_3 H_2O^{16} . F galey Philip E., Rao K. Nagahagi. High resolution infrared spectra of water vapor. ν_1 and ν_3 bands of H_2^{16}O . «J. Molec. Spectrosc.», 1969, 29, № 3, 348—364 (англ.)

Получены спектры паров воды в области $2,5$ — 3μ с разрешением $\sim 0,1 \text{ см}^{-1}$. Приведены частоты наблюденных линий с точностью $\pm 0,005 \text{ см}^{-1}$. Произведена интерпретация наблюденных линий с использованием квантовых чисел J , K_{+1} и K_{-1} . На основе полученных данных вычислены энергии вращательных и колебательно-вращательных уровней молекулы H_2O^{16} в состояниях (000), (100) и (001) вплоть до $J=10$. Отмечено расхождение с данными, полученными из анализа чисто вращательного спектра. Наблюдано возмущение вращательных уровней в возбужденных колебательных состояниях ν_1 и ν_3 . Определены частоты чисто колебательных переходов $\nu_1 = 3657,05_0 \text{ см}^{-1}$ и $\nu_3 = 3755,97_0 \text{ см}^{-1}$. Библ. 16. М. В. Тонков

Ф. 1969.10г.

1969

H₂O

01327n High resolution infrared spectra of water vapor ν_1 and ν_3 bands of H_2^{16}O . Fraley, Phillip E.; Rao, K. Narahari (Ohio State Univ., Columbus, Ohio). *J. Mol. Spectrosc.* 1969, 29(3), 348-64 (Eng). The ν_1 and ν_3 bands of H_2^{16}O occurring in the region $2.5\text{--}3.0 \mu$ were recorded with a high resoln. vacuum ir spectrograph and an anal. has been presented of the rotational structure observed. The present study led to the detn. of accurate values for the ground state energy levels of the H_2^{16}O mol. The band origins obtained are: $\nu_1 = 3657.05_0$ and $\nu_3 = 3755.97_0 \text{ cm.}^{-1}$ A discussion is presented of the effects of perturbations between the upper states of the transitions involved.

RCKP

chemip

C.A.

1969.70.22

M_2O

Gavin R. M.

1869

J. Chem. Educ., 46 (7),
413.

Чистая
консигурация

(ал. XeF_2) III

H.F., HCl, H₂O (v.) VI 1179

1969

Von Holle W.C.

Dissert. Abstr. Int. B 1970, 31(1), 364

Far infrared spectra of matrix isolated hydrogen fluoride, hydrogen chloride, and water.

10

①

CA 1971, 74(22), 18298K
63

1969

H₂O

5 Д170. Неэмпирические расчеты участия *d*-орбитали в некоторых соединениях серы. Hillier I. H., Saunders V. R. Ab initio calculations of *d* orbital participation in some sulphur compounds. «Chem. Phys. Letters», 1969, 4, № 4, 163—164 (англ.)

Произведены расчеты основных электронных состояний молекул H₂S, CS и SO₂ с использованием гауссовой аппроксимации слейтеровских атомных ф-ций. Для сравнения рассчитаны также соответствующие соединения кислорода. В H₂O и CO заселенность *d*-орбитали кислорода мала (не выше 2%), а для соединений S заселенность *d*-орбитали S заметно выше (16% в H₂S и в CS и 117% в SO₂). Т. К. Ребане

02.10.70

50

1969

H₂O

7 Б36. Неэмпирические расчеты участия *d*-орбиталей в некоторых соединениях серы. Hillier I. H., Saunders V. R. Ab initio calculations of *d* orbital participation in some sulphur compounds. «Chem. Phys. Letters», 1969, 4, № 4, 163—164 (англ.)

Неэмпирическим методом МО ССП, в гауссовом базисе (по 3 гауссовых функции на каждую орбиталь слейстеровского типа), рассчитаны дипольные моменты (ДМ), потенциалы ионизации (ПИ) и полные энергии молекул H₂O и CO, H₂S и CS, а также SO₂. Орбитальные экспоненты для 3*d*-АО серы составляли от 1,2 до 1,7. Включение в расчет 3 *d*-АО серы приводит к значительным изменениям

+4

X·1970·4

☒

иому улучшению совпадения расчетных и экспериментальных величин ДМ и ПИ в случае H_2S и CS , заселенность $3d$ -АО составляет около 0,16. Для SO_2 наблюдается ухудшение передачи ДМ, но улучшение ПИ, заселенность $3d$ -АО равна 1,17. Включение в расчет $3d$ -АО кислорода для H_2O и CO (орбитальные экспоненты 1,66 и 2,5 соотв.) приводит, наоборот, к ухудшению согласия с экспериментом.

Е. Л. Розенберг

I969

H₂O

Hunt W.J., Goddard W.A.

Chem. Phys. Lett., 3, 414

Excited states of H₂O using im-
proved virtual orbitals.

H₂O

7 Д120. Неэмпирический расчет некоторых низколежащих возбужденных состояний H₂O. Horsley J. A., Fink W. H. Ab initio calculation of some lower-lying excited states of H₂O. «J. Chem. Phys.», 1969, 50, № 2, 750—758 (англ.)

1969

Неэмпирическим методом самосогласованных МО ЛКАО для открытых оболочек рассчитаны потенц. поверхности B^1A_1 , возбужденного состояния H₂O и соответствующего триплетного состояния. По-видимому именно B^1A_1 состояние H₂O при фотодиссоциации дает частицы OH ($A^2\Sigma^+$) с аномальным вращательным распределением. При расстояниях O—H, близких к 2,0 ат. ед., рассмотренные состояния H₂O являются в основном ридберговскими, в которых высшая занятая орбиталь является ридберговской 3s-орбиталью. При расстояниях O—H, больших 2,0 ат. ед. для симметричной диссоциации или 2,6 ат. ед. для антисимметричной диссоциации, преобладает разрыхляющая конфигурация, в которой

расчет
нижней
уровней

оф. 1969.

48

высшая занятая орбиталь является разрыхляющей комбинацией $2s$ -орбитали О и $1s$ -орбитали Н. В обоих состояниях предпочтительной является линейная геометрия. Сечение потенц. поверхности для асимметричной диссоциации изогнутой (угол Н—О—Н 135°) молекулы в B^1A_1 -состоянии обладает и максимумом и минимумом. Максимум коррелирует с изменением обменного интеграла между однократно занятыми орбиталами, вызванным переходом ридберговской высшей занятой орбитали в разрыхляющую. Соответствующее сечение для линейной молекулы является диссоциативным, но обладает точкой перегиба. Кривые для триплетного состояния являются чисто диссоциативными. Кривая для симметричной диссоциации линейной молекулы как в триплетном, так и в синглетном состояниях обнаруживает минимум около 2,6 ат. ед.

В. Л. Лебедев

1969

H₂O

ИК-спектр

7 Д326. Положение, интенсивности и ширина линий паров воды в области $475-692 \text{ см}^{-1}$. Izatt Gerald R., Sakai Hajime, Benedict William S. Positions, intensities, and widths of water-vapor lines between 475 and 692 см^{-1} . «J. Opt. Soc. Amer.», 1969, 59, № 1, 19-27 (англ.)

Исследованы ИК-спектры поглощения паров воды в области $475-692 \text{ см}^{-1}$ на спектрометре Эберта—Фасти с разрешением $0,12 \text{ см}^{-1}$. Частоты обнаруженных 94 линий определены с точностью $\pm 0,01 \text{ см}^{-1}$. Для 19 линий методами фурье-преобразования и интегр. поглощения (с учетом поправки на поглощение в крыльях линий) определены значения интенсивностей и полуширин линий. Эксперим. значения интенсивностей линий отличаются

ф. 1969. № 8

40, CH_3CN , N_2O (see ref. no. 1) 1969

~~2~~ Kiebler U., $\bar{\lambda} 285$

Beckman Rep., 1969, (1), 3-8

Far-infrared spectroscopy
with interferometers.

10

(93)

ca 65

1969

(H₂O)₂ (paper shift, recr. c₇H₁₂,
H₂O cov. over) ii

X1287

Kollman P.A., Allen L.C.

J. Chem. Phys., 1969, 51, n⁸, 3286-3293/age.

Theory of the hydrogen bond: electro-
nic structure and properties of the
water dimers.

TO, M (P)

Publ. 1970, 10672

H_2O .

1969

10 Б14. Деформация валентного угла и гибридизация в H_2O . Klessinger Martin. Bond angle deformation and hybridization in H_2O . «Chem. Phys. Letters», 1969, 4, № 3, 144—146 (англ.)

Проведен полный расчет молекулы H_2O в рамках метода ССП в миним. базисе слейтеровских АО (разложенных по гауссовым функциям). Расчеты выполнены для фиксированного расстояния ОН (1,8103 ат. ед.) при варьировании валентного угла (θ) от 90 до 120°. Гибридные функции связей и неподеленных электронных пар ортогонализованы между собой и с внутренней (1s)-оболочкой атома кислорода. Оптим. значение параметра гибридизации λ (связанного с s-характером гибридных

кв.-мех.

расчет

X. 1970.

10

не

функций) и «гибридный» угол α определялись минимизацией полной электронной энергии для данного значения θ . Полученные результаты сравниены с результатами гораздо более трудоемкого ССП-расчета с учетом обширного конфигурац. взаимодействия. Обе потенциальные кривые почти параллельны и обнаруживают слабый минимум вблизи опытного значения $\theta = 105^\circ$, что подтверждает точность расчета. Оптим. гибридизации слабо зависит от θ (при $\theta = 90—120^\circ$ получено $\lambda = 0,66—0,83$ и $\alpha = 100,4—104,9^\circ$). Минимум полной энергии получается при $\theta = \alpha$, что автор считает общим условием, справедливым для всех молекул. Показано, что ортогонализация валентных гибридных функций кислорода ведет к более локализованным орбитам, однако не меняет направление гибридной функции. Поэтому при равновесном значении θ связи в H_2O являются «прямыми», в то время как при всех других значениях θ связи «изогнуты». Разумность такого определения подтверждена расчетами зарядовой плотности, максимум которой лежит на линии $\text{O}—\text{H}$ только при $\theta = 105^\circ$, в то время как при $\theta = 90$ и 120° этот максимум смещен в сторону от нее.

Е. М. Шусторович

1969

ν_2 D (напр)

З Д357. Интенсивности 31 линии водяного пара в области $1429-1617 \text{ см}^{-1}$. Краков Burton, Healy Anthony R. Strengths of 31 water-vapor lines between 1617 and 1429 см^{-1} . «J. Opt. Soc. Amer.», 1969, 59, № 11, 1490-1491 (англ.)

Измерены интенсивности 31 линии в полосе ν_2 молекулы H_2O . При измерениях применен модифицированный метод кривой роста. В качестве приемника излучения применено охлажденное до т-ры жидкого гелия фотосопротивление Ge : Cu (приемная площадка $0,1 \times 10 \text{ мм}$). Приведены определенные из опыта и вычисленные на основе модели жесткого ротора значения интенсивностей линий с их отнесением к определенным колебательно-вращательным переходам. Дано сравнение полученных и известных из литературы теоретич. и эксперим. данных. Библ. 12.

М. В. Тонков

09. 1970. 38

M. O

Krell F. et al.

1969

Chem. Phys. Letters,
4 (5), 261.

tacereus

spontaneus

chrysanthemum

(all. CH₄) III

I969

H₂O

Kukolich S.G.

J.Chem.Phys., 50, 3751

Measurement of molecular g-va-
laes in H₂O and D₂O and hyper-
fine structure in H₂O.

1969

H₂O

7 Б211. Поливода. Колебательные спектры указывают на единственную устойчивую полимерную структуру. Lippincott Ellis R., Stromberg Robert R., Grant Warren H., Cessac Gerald L. Polywater. Vibrational spectra indicate unique stable polymeric structure. «Science», 1969, 164, № 3887, 1482—1487 (англ.)

Из обычной воды (I) при конденсации ее паров в течение ~18 час. в новых капиллярах (плавленый кварц, пирекс) с диаметром 5—20 μ получена новая форма воды, наблюдавшаяся ранее Дерягиным и его сотрудниками, к-рые назвали ее «аномальной водой» (II). Исследованы ИК-спектры поглощения II внутри кварцевых (область 5000—10 000 см^{-1}) и пирексовых (1000—4000 см^{-1}) капилляров, а также вне капилля-

структур

X. 1970. 7

ров в области $400-4000 \text{ см}^{-1}$. В последнем случае использовалась специальная небольшая алмазная кювета с тонкими алмазными окошками. В области $400-4000 \text{ см}^{-1}$ исследован спектр КР II в капиллярах из плавленого кварца, возбуждавшийся линией 4880 \AA аргонового лазера. В ИК-спектре поглощения II отсутствуют полосы поглощения в области $2500-4000 \text{ см}^{-1}$, появляется сильная полоса при 1595 см^{-1} и интенсивный дублет в области 1400 см^{-1} . Спектр КР II также сильно отличается от спектров КР I или льда. Наиболее характерная особенность спектра состоит в появлении очень интенсивной полосы при 620 см^{-1} с плечом при $\sim 640 \text{ см}^{-1}$. Кроме того, в спектре КР II наблюдались полосы при 3940 , 3420 , 2560 , 1865 и 1760 см^{-1} . Полоса 3420 см^{-1} относится, по-видимому, к следам I. Отсутствие существенных следов примесей в исследованных образцах II установлено методами спектрохимич. анализа. В согласии с лит. данными показатель преломления II равен 1,48, а плотность II, определенная по ур-нию Лоренца — Лоренца, составляет 1,39. Предполагается, что образование II и ее спектральные свойства могут быть объяснены возникновением сильных симметрич. связей O—H—O, изоэлектронных ионом FHF^- . Даны приближенные длины связей: $2,3 \text{ \AA}$ для O...O и $1,15 \text{ \AA}$ для H—O по сравнению с расстоянием O...O $2,8 \text{ \AA}$ для I. Предложено несколько соглашающихся со спектроскопич. данными моделей структуры II, к-рая во всех случаях предполагается полимерной. Предложено называть II поливодой.

А. Александров

$\text{D}_2(\text{H}_2\text{O}, \text{HDO}, \text{D}_2\text{O}, \text{CH}_2\text{O}, \text{CD}_2\text{O}, \text{C}_2\text{D}_2\text{O})$ 1969

B (145 waves) II 14

Lajko M.S., Beers Y. XI 654

J. Res. Natl. Bur. Stand., 1969, A73, 12,
233-239 (austr.)

A table of rotational constants of
symmetric top molecules giving
rise to microwave spectra.

12.

Rev. Phys. 1970, 10174. corr. opus. 12

H₂O

1969

Defn u. McKee
loga

53785g Polywater. Lippincott, Ellis R.; Stromberg, Robert R., Grant, Warren H.; Cessac, Gerald L. (Univ. of Maryland, College Park, Md.). *Science* 1969, 164(3887), 1482-7 (Eng).

The results of an ir and Raman spectroscopic study of anomalous water both in and out of the capillaries in which it was formed are presented to show that the material is polywater, a true high polymer consisting of H₂O monomer units. The polywater was prep'd. by condensing water vapor in freshly drawn, fused quartz and Pyrex capillaries between 5-20 μm . in diam. The capillaries were suspended over distd. water in an evacuated and sealed system and \sim 18 hrs. were allowed for the formation of polywater. The OH stretching bands prominent in normal water ir spectra were absent and new bands near 1600 and 1400 cm^{-1} appeared. This was interpreted by assuming that new and previously unreported strong symmetric OH-O bonds were

C.A. 1969

H. 12

formed, isoelectronic with FHF^- . The approx. bond distances are 2.3 Å. for $\text{O}\cdots\text{O}$, and 1.15 Å. for HO as compared to a $\text{O}\cdots\text{O}$ distance near 2.8 Å. for normal H_2O . These bonds, which are so strong they can not be considered as normal $\text{O}\cdots\text{H}$ H bonds, are regarded as responsible for the remarkable properties of the material. The bond energy/ OHO unit is 30-50 kcal./mole and an energy of 60-100 kcal./ H_2O structural unit. Several structures consistent with the spectral data and the properties and stabilities of the material are proposed.

CFJN

H₂O

отт. А-1410

1969

1 Д174. Таблица вращательных постоянных молекул типа симметричного волчка, имеющих микроволновые спектры. Lojko Matthew S., Beers Yardley. A table of rotational constants of symmetric top molecules giving rise to microwave spectra. «J. Res. Nat. Bur. Stand.», 1969, A73, № 2, 233—239 (англ.)

Составлена таблица вращательных постоянных B полярных линейных молекул и молекул типа симметричного волчка. В таблицу включены значения B 145 молекул от Cs¹³³J¹²⁷ ($B = 708, 3579$ Мгц) до N¹⁴H₃. ($B = 298\ 000$ Мгц). Приведены также таблицы частот вращательных переходов молекул H₂O, HDO, D₂O, HDO¹⁸, CH₂O, CH₂O¹⁸, CD₂O, CHDO и CHDO¹⁸.

М. Р. Алиев

09. 1970. 12



+150



$\text{CO}_2, \text{N}_2\text{O}, \text{HCN}, \text{OCS}, \text{H}_2\text{O}$ (cav. vocat.) 1969

Machida K, Overend J. " 13 14
XI 328

J. Chem. Phys. 1969, 50(10), 4429-36

Auharmonic stretch-stretch interaction force constants of triatomic molecules.

60

10

CA, 1969, 21 N 624803f

H_2O

1969

3 Б25. Потенциальная поверхность и обобщенные силы осциллятора для ридберговского состояния ${}^1A''$ молекулы H_2O . Miller K. J., Mielczarek S. R., Krauss M. Energy surface and generalized oscillator strength of the ${}^1A''$ Rydberg state of H_2O . «J. Chem. Phys.», 1969, 51, № 1, 26—32 (англ.)

Методом Хартри-Фока с использованием аналитич. функций атомов рассчитана часть потенциальной поверхности молекулы воды в возбужденном состоянии ${}^1A''$. Найдено, что в этом состоянии потенциальная энергия может быть записана с хорошим приближением в виде суперпозиции разделяющихся частей, одна из к-рых отвечает отталкиванию и зависит в основном от расстояния между атомом Н и центром тяжести фрагмента OH. Другая часть отвечает притяжению между атомами О и Н во фрагменте OH. Такой тип поверхности объясняет специфику фотодиссоциации H_2O , проявляющуюся в том, что почти вся энергия возбуждения выделяется в

кв.-мех.
расчет

x · 1970 · 3

виде относит. кинетич. энергии фрагментов. С найденными волновыми функциями рассчитаны обобщенные силы осцилляторов, к-рые использованы для определения сечений возбуждения состояния 1A молекулы воды при столкновениях с быстрыми электронами. Характеристики возбуждения как функция переданного импульса воспроизводятся теорией, что указывает на хорошую аппроксимацию истинных функций функциями самосогласованного поля.

Е. Никитин

1969

H₂O

53679a Energy surface and generalized oscillator strength of the ¹A'' Rydberg state of water. Miller, Kenneth John; Mielczarek, S. R.; Krauss, Morris (Rensselaer Polytech. Inst., Troy, N.Y.). *J. Chem. Phys.* 1969, 51(1), 26-32 (Eng).

The energies and wavefunctions of the lowest singlet and triplet Rydberg states in H₂O were calcd. in the expansion basis self-consistent-field procedure for a single configuration. A portion of the energy surface of the ¹A'' Rydberg state for an HOH angle of 105° was detd. that shows the asymmetric surface of the ¹A'' Rydberg state for an HOH angle of 105° was detd. that shows the asymmetric dissociation of this state into ground-state H(²S) and OH(²Π) fragments. The energy along the reaction coordinate is almost separable into a repulsion depending only on the center-of-mass sepn. and an attractive potential that depends only on the OH internuclear sepn. For the C_{2v} conforma-

no entryno entryno entryKb. AlexPacretti

C.A.

1969.71.12

tion a large basis set was used to approach the Hartree-Fock limit. By using these functions a min. was calcd. in the generalized oscillator strength for the $^1A_1 \rightarrow ^1B_1$ transition as a function of the momentum transfer function or the electron scattering angle. This behavior was then confirmed exptl. for an energy loss of 7.4 ev. with an incident electron energy of 500 ev. Such a min. is a general characteristic of Rydberg transitions and is not an essentially mol. phenomena. The good agreement between exptl. and theory indicates a reasonable fit to the Rydberg wavefunction by the approx. Hartree-Fock calen.

RCIO

(H₂O)

1969

Очес
силового
поля
молекул

1Д165. К вопросу об определении силового поля молекулы по известным экспериментальным частотам. Расчет колебаний изотопозамещенных молекулы воды. Михайленко В. И. До питання про визначення силового поля молекули за відомими експериментальними частотами. Розрахунок коливань ізотопозаміщених молекули води. «Укр. фіз. ж.», 1969, 14, № 8, 1246—1250 (укр.; рез. англ.); «Укр. физ. ж.», 1969, 14, № 8, 1247—1251 (русск.; рез. англ.)

Показано, что матрица силовых коэф. U может быть найдена из отношений частот колебаний двух изотопич. молекул. Получена система ур-ний, из которой матрица U определяется при помощи итерационного процесса. Результаты иллюстрированы на примере молекулы воды.

М. Р. Алиев

09. 1990. 10

1969

H_2O

~~166370~~ Determination of the molecular force field by known experimental frequencies. Calculation of vibrations of isotope-substituted water molecules. Mikhailenko, V. I. (Odess. Yyssh. Inzhi. Morsk. Uchilisliche, Odessa, USSR). *Ukr. Fiz. Zh. (Russ. Ed.)* 1969, 14(8), 1247-51 (Russ). The matrix of the force consts. can be detd. mathematically if the ratio of the frequencies of the normal vibrations is known for any 2 mols. of a given isotopic form (Panchenko and Kiptev, 1968). The effectiveness of the given method is illustrated by calcg. the normal vibrations for isotope-substituted H_2O . GLJR

Citec. No. 211.

C.A. 1969.

71.24

1969

H₂OH₂SK₂Seтаблицы

4 Д177. Приближенный расчет характеристических колебаний изотопозамещенных молекул. Михайленко В. И., Кучеренко Б. И. «Укр. физ. ж.», 1969, 14, № 11, 1923—1926

Показано, что для приближенного расчета характеристич. по форме колебаний можно воспользоваться простой ф-лой:

$$v_{2i} = v_{1i} \sqrt{\frac{t_{2i}^{-1}}{t_{1i}^{-1}}},$$

где t_{1i}^{-1} и t_{2i}^{-1} собств. значения матриц кинематич. коэф. T_1^{-1} и T_2^{-1} для двух каких-либо молекул данного изотопич. ряда, v_{1i} — эксперим. значения частот норм. колебаний для одной из изотопозамещенных молекул.

09. 1970.

49

(+)

Предложенная ф-ла проверена на примере расчета
частот норм. колебаний изотопозамещенных молекул
 H_2O , H_2S и H_2Se . Рассчитанные и эксперим. значения
частот находятся в хорошем соответствии друг с дру-
гом.

$\text{CO}_2, \text{H}_2\text{O}, \text{C}_2\text{H}_2$, (Bpaus et al., 1969)
 $\text{AsI}_3, \text{IF}, \text{BF}$ (n.v.) 11/13/14

Nielson H.H.; Rao K.N. XI 382

U.S. Clearinghouse Fed. Sci. Tech.

Inform. AD 1968, AD-683339, 107p.

High-resolution vibration-rotational spectra of polyatomic molecules.

10.

(P)

12 PA 1969, 41, NID 4391Y

HOON

6 Д477. Микроволновый спектр перекиси водорода.
Oelfke William C., Gordy Walter. Millimeter-
wave spectrum of hydrogen peroxide. «J. Chem. Phys.»,
1969, 51, № 12, 5336—5343 (англ.)

1960

* В области 60—300 кМгц исследованы вращательные спектры молекул HOON (I) и DOOD (II) в основном колебательном состоянии. Для предотвращения быстрого распада молекул на O_2 и H_2O металлич. поверхность полости резонатора Фабри—Перо покрывалась парафином. Отождествлено 50 вращательных переходов для I для P_{Q_1} , P_{R_1} , P_{R_0} , R_{P_0} и R_{P_1} -ветвей и 30 переходов для II для P_{Q_0} -ветвей. Данна интерпретация спектров в терминах модели полужесткого ротатора. Для вращательных постоянных установлены следующие значения (в Мгц): $\nu_{01,2}^{01,2} = 276208,0 \pm 2,0$; $\nu_{03,4}^{03,4} = 275912,7 \pm 2,0$; $\beta_{01,2}^{01,2} = 25662,1 \pm 2,0$; $\beta_{03,4}^{03,4} = 25673,7 \pm 2,0$. Найдены структурные параметры.

Г. П.

оп. 1970. 68

+1

12

H₂O

ccccccp

Oldman R. J.
Brodia H.P.

1969

J. Chem. Phys., S1/6,
2464.

(Can. N) III

$C_2H_4, CH_4, LiH, CH_3 + OH, NH_3, C_2H_2$, (ΔH_f) g 1969
 $C_2HF, C_2HCl, C_2, C_3, Cy, BeHBe^+, BeHBe$, (ΔH_f) 110,
 $BeH^+, BeF_3, HF, FHF, H_2O, HeH^+$, (ΔH_f) (V. K. B. - vor. pravit)
 $F(H_2O)_n (n=1, 2, 3), BeHF^+, F_2, LiF, NaF, HCl, alk.$

Preuss H., Janoschek R. 18813

J. Mol. Struct. 1969, 3(4-5), 423-8

Wave-mechanical calculations on the
 molecules taking all electrons into
 account. α ECTb Ph. K.

μ, ϕ $d0 + d0$
 (ϕ)

CA, 1969, 71, N 12, 537668

H₂O

39 - XI - 416

1969

4 Д169. Свойства решений задачи на собственные
значения степени $n=2$, полученных с помощью некото-
рых новых методов вычисления силовых постоянных.
Pfeiffer M. Solution properties of some new methods
for the calculation of force constants for eigenvalue prob-
lems of degree $n=2$. «J. Molec. Spectrosc.», 1969, 31, № 2,
181—195 (англ.)

Предложен параметрич. метод определения матрицы
силовых постоянных по ф-ле: $F = (L_0^{-1})' U \Lambda U' L_0^{-1}$; ма-
трица L_0 однозначно определяется матрицей кинематич.
коэф. G , Λ —диагональная матрица квадратов частот

колебаний, а $U = \begin{pmatrix} \cos \alpha & -\sin \alpha \\ \sin \alpha & \cos \alpha \end{pmatrix}$. Получены ф-лы, выра-

09. 10. 1970.

49



+15



жающие f_1 , f_2 , f_{12} через λ_1 , λ_2 , элементы G и искомый параметр χ . Для его определения могут применяться различные условия: потенц. энергия должна зависеть только от f_1 или f_1 и f_2 должны принимать, соответственно, максим. и миним. значения. Параметр может быть найден также на каждой ступени итерационного процесса Бечера и Меттса (РЖФиз, 1967, 12Д149) и при использовании метода, в котором матрицы форм колебаний определяются по матрице G . Составлена таблица значений f_{12} , вычисленных при помощи всех рассмотренных методов для 15 молекул. Эти значения сопоставлены со спектроскопич. значениями f_{12} , причем наилучшее согласие получено по методу Бечера и Меттса. Построены кривые зависимости f_1 , f_2 от f_{12} , полученные на основании различных методов и определяющие границы возможных значений силовых постоянных для различных молекул.

М. А. Ковнер

5/10/11
LH, BH, H₂O (cav. neck) 1969
LH 11 V 6549

Poeciloxanthus B. B., Acropora B.S.

Magn. 40 magnification, 10x 5, 11,
32-37

(1) Lobularia planorbis nigrata
Lobularia planorbis C. lobularia planorbis
Sphaerula Testacea - Planorbis

Revised, 1969, 13560 10 5

1969

H_2O

сил. пост.

6 Б58. О вычислении силовых постоянных молекулы воды на основе простого метода МО. Россихин В. В., Морозов В. П., Беззуб Л. И. «Теор. и эксперим. химия», 1969, 5, № 5, 679—683

Описан способ вычисления гармонич. и ангармонич. силовых постоянных многоатомных молекул простым методом МО. Выполнен численный расчет квадратич., кубич. и квартич. валентных силовых постоянных воды. Вычисленные значения силовых постоянных согласуются с их значениями, полученными из частот колебательных переходов.

М. Р. Алиев

X. 1970. 6

H₂O

1969

35966h Calculation of force constants of the water molecule based on a simple MO [molecular orbital] method. Rossikhin, V. V.; Morozov, V. P.; Bezzub, L. L. (USSR). *Teor. Eksp. Khim.* 1969, 5(5), 679-83 (Russ). The possibility of applying a simple MO method to the evaluation of harmonic and nonharmonic force consts. was studied on the example of H₂O mols., for which these values are known from exptl. data on the frequencies of vibrational transitions. In the calcn. of the force consts. the problem arises of finding the corresponding derivs. of the orbital coeff. One of the advantages of the simple MO method is that in the calcns. the equations for finding the matrixes of the derivs. of the orbital coeffs. can be easily solved. The force consts. of the H₂O mol. were calcd. by the equations derived here to the 4th order. The wave functions, the energy levels, and the force consts. are tabulated. The relative values of the force consts. coincide satisfactorily. The simple MO method makes it possible to reduce the no. of unknown force consts. in the detn. of a nonharmonic potential function based on the data for the vibrational-rotational spectra.

L. Holl

Conf. note

16. exp.

parcours

C. A. 1970

72.8

H₂O

1969

) 5 Б81. Применение теоремы вириала к расчету ангармонических силовых постоянных молекулы воды.
Россихин В. В., Морозов В. П., Сторчай Н. Т.
«Теор. и эксперим. химия», 1969, 5, № 5, 585—591

На основе теоремы вириала найдены соотношения между ангармонич. силовыми постоянными, к-рые позволяют уменьшить число неизвестных в ур-ниях, полученных при применении общей квантовомех. теории колебаний и вращений молекул. Полный набор ангармонич. силовых постоянных молекул H₂O использован для вычисления всех ангармонич. констант X_{ss}^{*} молекулы D₂O.

Резюме

X·1970·5

H₂O

1969

59292m Use of the virial theorem for calculating anharmonic force constants of the water molecule. Rossikhin, V. V.; Morozov, V. P.; Storchai, N. T. (Dnepropetrovsk. Khim. Tekhnol. Inst., Dnepropetrovsk, USSR). *Teor. Eksp. Khim.* 1969, 5(5), 585-91 (Russ). A method for calcg. anharmonic force consts. by using the quantum mechanical virial theorem is given. The technique is used to calc. the force consts. of water; a complete set of anharmonic force consts. of H₂O are used to calc. all the anharmonic force consts. of D₂O.

Ved Prakash Gupta

noctū.

atrapu.

C.A. 1970

49.12

1969

 μ_2 0

23 Б261. Об отнесении инфракрасной полосы поглощения воды при 2130 см^{-1} . Сидорова А. И., Жуковский А. П. «Оптика и спектроскопия», 1969, 26, № 6, 1055—1067

спектр

Предложена новая интерпретация ИК-полосы поглощения жидк. воды при 2130 см^{-1} , к-рая приписана комбинации деф. кол. молекулы воды v_2 при 1650 см^{-1} с НЧ-компонентами либрац. полосы, к-рые следует отнести к межмолек. колебаниям молекул воды с нарушенными Н-связями. Отсутствие комбинации колебания v_2 с основной компонентой либрац. полосы объясняется наличием квантовомеханич. запрета по симметрии. Предлагаемая интерпретация согласуется с результатами исследований составной полосы молекул HDO. Автореферат

Х. 1969. 23

H₂O

1969

11Д324. Об отнесении инфракрасной полосы поглощения воды при 2130 см^{-1} . Сидорова А. И., Жуковский А. П. «Оптика и спектроскопия», 1969, 26, № 6, 1055—1057

Предложена новая интерпретация инфракрасной полосы поглощения жидкой воды при 2130 см^{-1} , которая приписана комбинации деформационного колебания молекулы воды ν_2 при 1650 см^{-1} с НЧ-компонентами либрационной полосы, которые следует отнести к межмолекулярным колебаниям молекул воды с нарушенными водородными связями. Отсутствие комбинации колебания ν_2 с основной компонентой либрационной полосы объясняется наличием квантовомеханич. запрета по симметрии. Предлагаемая интерпретация согласуется с результатами исследований составной полосы молекул HDO.

Автопечат

Ф. 1969.110

H₂O

Snyder L.L.,
Basch H.

1969

formaldehyde
gas-phase
abs-ex
param

J. Amer. Chem. Soc.,
1969, 91, n 9, 2189.



(Cet. Cu₄)^{III}

1969

H₂O

Thomas J. L.

протонная
структура

Chem. Phys. Letters,
1969, 3, N9, 705

(C₆.CH₄)III

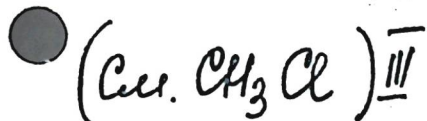
H₂O

Valdemoro C.
at all

1969

" paciem

Au. fis. Real. soc. esp.
fis y quim. 1969, 65,
N 8-2, 181-2.



1969

 H_2O

24 Б34. Расчет валентных углов H_2O и NH_3 при помощи принципа максимального перекрывания. Valko L., Pelikán P. The calculation of valence angles for H_2O and NH_3 using the maximum overlap principle. «Theoret. chim. acta», 1969, 14, № 1, 55—64 (англ.; рез. нем., франц.)

Предложен модифицированный вариант метода максим. перекрывания Маррела, позволяющий вычислить величины валентных углов молекул типа MX_k путем максимизации полной прочности связей. Метод применен к вычислению валентных углов молекул H_2O и NH_3 . Полученные значения $\theta = 107^{\circ}10'$ (H_2O) и $109^{\circ}35'$ (NH_3) несколько выше эксперим. значений $\theta = 104^{\circ}45'$ и $106^{\circ}47'$ соотв. Отмечена высокая чувствительность величины θ к выбору атомн. орбиталей.

М. Р. Алиев

+1

X · 1969 · 24

14

Memos
No. - Mex.
pacreta
cípripé
west. I

revised,

1969

33554c Calculation of valence angles for water and ammonia using the maximum-overlap principle. Valko, Ladislav; Pelikan, P. (Slovak Tech. Univ., Bratislava, Czech.). *Theor. Chim. Acta* 1969, 14(1), 55-64 (Eng). A new approx. method for the detn. of the valence bond angles for MX_k -type mols., based on the max. overlap principle, is proposed. The valence bond angles are detd. from the conditions of max. of the "total bonds strength." The method has been used to calc. the valence angles and the hybrid orbitals for the water, and the NH_3 mol., resp. The calcd. valence bond angles for both mols. are about 2° too high with respect to exptl. equil. values. Also the best hybrid orbitals using the Golebiewski simplified method were calcd.

RCTC

C.A. 1969. II. 8

1969

 H_2O (ne)

УФ-спектр

20 Б128. Изучение жидких H_2O и D_2O методом ультрафиолетовой спектроскопии в вакуумной области. Vergall R. E., Senior W. A. Vacuum—ultraviolet study of liquid H_2O and D_2O . «J. Chem. Phys.», 1969, 50, № 6, 2746—2750 (англ.)

Измерены УФ-спектры в области 130—175 м μ жидких H_2O и D_2O при т-рах —5, 25 и 61°. Полученные спектры сопоставлены с аналогичными спектрами газообразной воды. Обнаружен сдвиг максимума поглощения на 7000 см⁻¹ при переходе из газовой в жидкую фазу. Этот сдвиг объясняется авторами изменением энергетич. уровней как основного, так и возбужденного состояний при фазовом переходе и образовании Н-связей. Т-рная зависимость частоты максимума полосы поглощения D_2O подтверждает вывод о причинах сдвига.

И. В. Кумпаненко

Х. 1969. 20

+1



1969

H₂S } (21) 12 // XI 547
H₂O }

Waggener W.C., Weinberger A.J.,
Strongman R.W.

Z. phys. Chem., 1969, 73, n 10, 3518-3520
(auz.)

The near-infrared spectrum of
liquid hydrogen sulfide.

Refuge, 1970, 65231



10

52kg

420

J(J, n., 8)

11

1969

920

H₂, HD

XI 559

4800

K_p(H₂O₍₂₎, D₂O₍₂₎, HDO₍₂₎)

3

Wolfsberg et al.

J. Chem. Phys., 1969, 50, n3, 1484-1486 (see)

Correction to the effect of consider-
monicity on isotopic exchange
equilibria - application to polyac-
rylic molecules.

Suppl. 1969, 98126

10, M

1969

$\mu_2 O$

15 Б261. Непрерывная модель воды — ошибочная интерпретация. Walrafen G. E. Continuum model of water—an erroneous interpretation. «J. Chem. Phys.», 1969, 50, № 1, 567—569 (англ.)

Рассмотрение накопленных к настоящему времени данных о спектрах КР H_2O , D_2O и HDO не согласуется, по мнению автора, с существующей непрерывной (континуумной) моделью жидк. воды. Б. В. Рассадин

д. 1969. 15